



شانزدهمین سمینار ملی مهندسی سطح

پیاپی ۱۳۹۴

انجمن علم و تکنولوژی سطح ایران

سطوح ابرآبگریز و تاثیر آن‌ها در کاهش خوردگی ذیرلايه‌های فلزی

هرمن باقری^۱، محمود علی‌اف خضرابی^۲

^۱ بخش مهندسی مواد دانشکده فنی مهندسی دانشگاه تربیت مدرس تهران (کارشناسی ارشد)
^۲ (استاد بار)

چکیده

خوردگی در واقع پوسیدگی و یا تخریب یک ماده به دلیل انجام واکنش‌های شیمیایی و الکتروشیمیایی با محیط اطراف آن می‌باشد. به عبارت دیگر خوردگی، کنده‌شدن و ازین رفتن بخشی از فلز، ناشی از واکنش‌های شیمیایی می‌باشد. ایده سطوح آبگریز فرصت‌های زیادی را در زمینه ممانعت از خوردگی برای فلزات و آلیاژها فراهم کرد. بر اساس خاصیت دفع آب آن‌ها، پوشش‌های ابرآبگریز یک متدهم و موفق برای به تعویق انداختن تخریب لایه اکسیدی فلزات به وجود آورند.

واژه‌های کلیدی: سطوح ابرآبگریز؛ ترشوندگی؛ زاویه تماس؛ خوردگی.

¹ Bagherihooman@tmu.ac.ir

² Khazraei@tmu.ac.ir

مقدمه

در سال ۱۹۹۷، دو گیاه شناس آلمانی، Barthlott و Neinhuis، با کمک میکروسکوپ SEM برای اولین بار ساختار دو مقیاسی میکرو و نانومتر بر روی برگ لوتوس را کشف کردند و همچنین به بررسی ترکیبات شیمیایی حاضر در آن پرداختند. این پژوهش انقلابی دو خط مشی مهم برای پژوهش گرانی که بر روی سطوح ابرآبگریز مطالعه می‌کند به همراه آورده است. یکی زیر کردن سطح مواد با انرژی سطحی کم است و دیگری اصلاح و ایجاد ساختار زیر با موادی است که دارای انرژی سطحی کمی هستند. بعد از این کشف توسط این دو دانشمند آلمانی، تعداد فراوانی مقالات پژوهشی و دوره‌ای در باب سطوح ابرآبگریز که به توضیح کاربردهای مختلف سطوح آبگریز در زندگی حاضر می‌پردازد منتشر شد که از جمله‌ی این کاربردها می‌توان به پوشش‌های خود تمیز شونده شیشه‌ی جلوی اتومبیل، تجهیزات نوری، شیشه‌ی پنجره‌ها و پوشش‌های ضد مه و ضد خوردگی و رنگ اشاره کرد. در بسیاری از مقالات دوره‌ای و پژوهشی، مطلب معروف "اثر لوتوس" مورد بحث و بررسی قرار می‌گیرد و ساختار دوتایی میکرو/نانو مقیاس برگ لوتوس برای توسعه و ایجاد سطوح ابرآبگریز پیشنهاد شده است [1].

مواد و روش تحقیق

۱. ترشوندگی سطح

۱-۱. ترشوندگی روی سطح صاف

وقتی یک قطره مایع روی سطحی که به صورت فیزیکی و شیمیایی همگن است قرار گیرد (شکل ۱)، زاویه تماس قطره روی سطح صاف (یا زاویه تماس ذاتی Θ_{flat}) می‌تواند با سه انرژی آزاد سطحی یعنی انرژی آزاد فصل مشترک جامد-هوای (γ_{sv})، جامد-سمايع (γ_{sl}) و مایع-هوای (γ_{lv}) با معادله یانگ مربوط شود.

$$\cos \theta_{flat} = \frac{\gamma_{sv} - \gamma_{sl}}{\gamma_{lv}}$$

معادله (۱): معادله یانگ

۲-۱. ترشوندگی روی سطح زبر

تأثیر زبری سطح روی ترشوندگی ابتدا با ونzel^۱ در سال ۱۹۳۶ و سپس کاسی و باکستر^۲ در ۱۹۴۴ بحث شد. ونzel پیشنهاد داد که وقتی سطح زبر می‌شود مساحت سطح موثر بیشتر شده که باعث می‌شود تا آب تمایل به

¹ Wenzel

² Cassie and Baxter

پخش شدن بیشتری روی سطح آب دوست نشان دهد تا تماس مایع و سطح را زیاد کند در حالی که گستردگی شدن بر روی سطح آبرگزبر کمتر می‌شود تا سطح تماس را کم کند. ارتباط بین زاویه تماس ظاهری (روی سطح زبر و زاویه تماس ذاتی) با معادله ونzel شرح داده شده است [۲].

$$\cos \theta_{\text{rough}} = r \cos \theta_{\text{flat}}$$

معادله (۲): معادله ونzel

که ۲ فاکتور زبری است و به صورت نسبت سطح واقعی به سطح افقی تعریف می‌شود.

۱-۳. هیستریزیس زاویه تماس^۱

به علاوه زاویه تماس که در حالت استاتیکی اندازه گیری می‌شود، پارامتر دیگری همچنین برای مشخص کردن تر شوندگی سطح نیاز است. هیستریزیس زاویه تماس تفاوت بین زاویه تماس پیشرو^۲ و پس رو^۳ است که به خاطر زبری و نامتجانس^۴ بودن سطح جامد است (شکل ۲) [۳].

۱-۴. زاویه تماس و مقاومت خوردگی

خوردگی فلزات در الکتروولیت وابسته به واکنش‌های سطحی است و هر عاملی که باعث حدایی عوامل خورنده از سطح شود یا نرخ و مقدار واکنش را کم کند می‌تواند مقاومت به خوردگی را افزایش دهد. مانند بازدارنده‌ها یا که سطح تماس را کم می‌کنند یا پوشش‌ها که هم سطح را کم کرده وهم مقاومت را افزایش می‌دهند. از جمله این عوامل زاویه تماس آب روی سطح است. این پارامتر با روش‌های مختلفی مورد بررسی و آنالیز قرار گرفته‌اند و نتیجه در نهایت این بوده که پوشش‌های ابرآبرگزبر از خوردگی فلز جلوگیری می‌کنند. شماتیک چگونگی ممانعت از خوردگی پوشش‌های ابرآبرگزبر، در مقابل یون خورنده کلرید را در شکل ۳ مشاهده می‌کنید [۴].

نتایج و بحث

نتایج ترشوندگی بر مقاومت به خوردگی آلیاژ‌های میزیم بررسی شده است [۵]. به منظور آبرگزبر نمودن آلیاژ AZ91 میزیم چهار نوع روش در مقاله Feng مورد بررسی قرار گرفته است که عبارتند از: اول سنباده‌زنی و پولیش و سپس چربی‌زدایی در استون و آب مقطر به روش آلتراسونیک، دوم اتچ کردن آلیاژ با اسید سولفوریک

¹ Contact angle hysteresis(cah)

² Advancing contact angles(θ_a)

³ Receding contact angles(θ_r)

⁴ Heterogeneity

رفیق شده، سوم و چهارم treat آلیاژ انج شده به ترتیب با نیترات نقره و مرکپتان دودسیل (DM)^۱. سپس سطح آلیاژ را با اتانول تمیز کرده و در هوا و دمای اتاق خشک می کنیم. تفاوت اندازه زاویه های تماس را در شکل (۴) مشاهده نمایید. همانطور که در شکل پیداست تاثیر DM در آبگریز کردن بسیار بیشتر بوده و زاویه لغزش برای ما به ارمغان آورده است.

به منظور بررسی اثر پوشش های آبگریز بر روی رفتار خوردگی آلیاژ منیزیم، از تست پلاریزاسیون تألف بهره می بریم. نتیجه نمودارهای پلاریزاسیون پتانسیو داینامیک آلیاژ منیزیم با زاویه تماس های مختلف آزمایش شده در (۱) ۲/۵ NaCl در شکل (۵) گزارش شده است. ضمناً E_{corr} و I_{corr} به دست آمده از تست نیز در جدول (۱) گزارش شده است.

بر اساس نمودارهای شکل (۵) و داده های جدول (۱) پتانسیل خوردگی (E_{corr}) آلیاژ منیزیم افزایش مثبت داشته در حالی که جریان خوردگی (I_{corr}) به تدریج با افزایش زاویه تماس، کاهش می یابد. به طور کلی چگالی جریان خوردگی کمتر و یا پتانسیل خوردگی بیشتر متناظر است با نرخ خوردگی کمتر و مقاومت خوردگی بهتر [۶]. بنابراین نتایج نشان می دهد که نرخ خوردگی سریع آلیاژ منیزیم، با افزایش زاویه تماس با آب، کاهش می یابد. در نتیجه می توان چنین استنباط کرد که آلیاژ منیزیم با زاویه تماس بیشتر، مقاومت به خوردگی بهتری دارد، و آلیاژ منیزیم با خاصیت ابرآبگریزی دارای بهتریت مقاومت به خوردگی در میان دیگر آلیاژ های منیزیم می باشد. بنابراین می شود نتیجه گرفت مقاومت به خوردگی آلیاژ منیزیم را می توان با ابرآبگریز کردن سطح آن بهبود بخشدید [۵].

بررسی اثر ابرآبگریزی بر خوردگی پوشش های نیکل و نیکل-کالت توسط Khorsand و همکارانش انجام شد [۷، ۸]. شکل (۶) و (۷) منحنی های پلاریزاسیون تألف پوشش های نیکل، نیکل کالت و زیرلایه مسی با آماده سازی پولیش مکانیکی در محلول NaCl ۲/۵ % در دمای محیط را نشان می دهد. پارامتر های الکتروشیمیایی با استفاده از روش بروون یابی تألف استخراج و در جدول (۲) نشان داده شده است. با توجه به شکل های (۶) و (۷) و داده های نشان داده شده در جدول (۲) مشاهده می شود که دانسیته جریان خوردگی هر دو نمونه در حالت فوق آبگریز نسبت به حالت فوق آبدوست به مقدار قابل توجهی کاهش یافته است. ضمناً منحنی پلاریزاسیون تألف مربوط به زیرلایه مسی و پوشش نیکل کالت اولیه، رفتار آندی فعال از خود نشان می دهدند. این در حالیست که پوشش های نیکل میکرو سنano ساختار اولیه و پوشش نیکل کالت ابرآبگریز، رفتار شبیه روئین و پوشش ابرآبگریز نیکل رفتار روئین نشان می دهند. دانسیته جریان روئین پوشش ابرآبگریز نیکل

^۱ Dodecyl Mercaptan

حدود $0.06 \mu\text{A}/\text{cm}^2$ است که تقریباً ۱۰ برابر کمتر از پوشش نیکل اولیه و ۱۰۰ برابر کمتر از زیرلایه مسی می‌باشد. این نتایج نشان می‌دهد که پوشش ابرآبگریز نیکل مقاومت به خوردگی سیار خوبی در مقایسه با پوشش اولیه نیکل از خود نشان داده است. دانسته جریان خوردگی پوشش فوق آب گریز نیکل-کپالت حدود $0.08 \mu\text{A}/\text{cm}^2$ است که تقریباً ۱۰۰ برابر کمتر از پوشش نیکل-کپالت اولیه و زیر لایه مسی اولیه است. همچنین پتانسیل خوردگی با فوق آبگریز شدن سطح پوشش به سمت مقادیر نجیب شیفت پیدا کرده است. بهمود مقاومت خوردگی را می‌توان به وجود پستی و بلندهای سطح فوق آب گریز نسبت داد که باعث حبس هوا مایین فرورفتگی‌ها می‌شود. بنابراین می‌توان نتیجه گرفت که حضور فیلم فوق آبگریز روی سطحی که در معرض محلول خورنده قرار دارد، به میزان قابل توجهی می‌تواند از طریق هوا به دام افتاده در بین زیرهای روی سطح، تماس محلول با سطح را کاهش داده و از نفوذ آب و یونهای مهاجم کلراید (Cl^-) به سطح زیرلایه که عامل پیشرفت خوردگی هستند، جلوگیری کند و در نهایت نقش حفاظتی بسیار موثری برای زیرلایه داشته باشد.^[۷, ۸]

Yuan و همکارانش بر روی رفتار خوردگی فیلم فلورورولیمر روی زیرلایه مس در محلول NaCl مطالعه کردند و در این راه از تست پلاریزاسیون تألف و EIS^۱ استفاده نمودند. آن‌ها مشاهده نمودند که پتانسیل خوردگی یک شیفت مثبت به سمت مقادیر نجیب‌تر داشته است (شکل ۸). به علاوه اندازه جریان خوردگی مس ابرآبگریز شده در مقایسه با مس بدون پوشش، درون محلول $2/5 \text{ NaCl}$ ٪، به میزان ۱۲ برابر کمتر شده است.^[۶]

نتیجه‌گیری

روش‌های زیادی برای ساخت سطوح ابرآبگریز و شناسایی ویژگی‌های این سطوح وجود دارد. اما نتیجه همه آن‌ها یکسان بوده و آن نتیجه این است که سطوح ابرآبگریز موجب کاهش خوردگی زیرلایه‌های فلزی می‌شوند. و برای رسیدن به این هدف دو جنبه باید در نظر گرفته شود، اول اصلاح مورفولوژی سطحی و دوم کاهش انرژی سطحی با استفاده از مواد کاهش‌دهنده انرژی سطحی.

^۱ Electrochemical impedance spectroscopy

مراجع

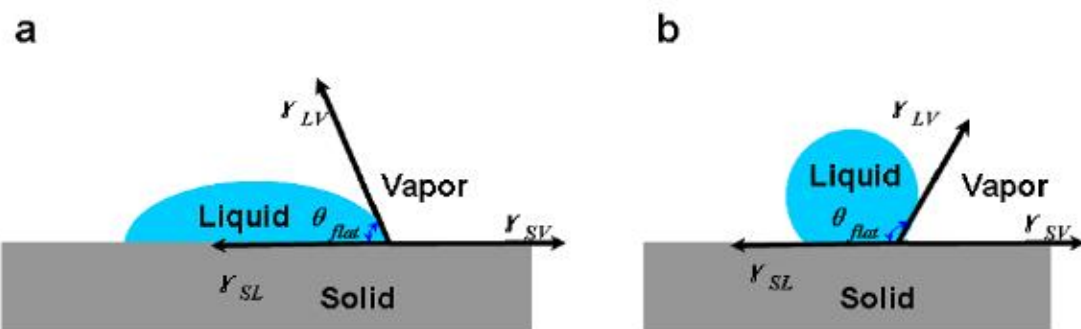
1. Latthe, S.S., et al., *Superhydrophobic surfaces developed by mimicking hierarchical surface morphology of lotus leaf*. Molecules, 2014. **19**(4): p. 4256-4283.
2. Cao, L., *Superhydrophobic surface: Design, fabrication, and applications*. 2011, University of Pittsburgh.
3. Alam, W. and E. Donaldson, *Wettability*. Texas: Gulf Publishing company, 2008.
4. Jeong, C., *Nano-engineering of superhydrophobic aluminum surfaces for anti-corrosion*. 2013.
5. Feng, L., et al., *Fabrication and corrosion resistance of superhydrophobic magnesium alloy*. Applied Physics A: Materials Science and Processing, 2015. **120**(2): p. 561-570.
6. Xu, W., et al., *Rapid fabrication of large-area, corrosion-resistant superhydrophobic Mg alloy surfaces*. ACS applied materials & interfaces, 2014; **6**(11): p. 4404-4414.
7. Khorsand, S., K. Raeissi, and F. Ashrafizadeh, *Corrosion resistance and long-term durability of super-hydrophobic nickel film prepared by electrodeposition process*. Applied Surface Science, 2014. **305**: p. 498-505.
8. Khorsand, S., et al., *Corrosion behaviour of super-hydrophobic electrodeposited nickel-cobalt alloy film*. Applied Surface Science, 2015.
9. Feng, L., et al., *Fabrication and corrosion resistance of superhydrophobic magnesium alloy*. Applied Physics A: p. 1-10.

جدول ۱: جریان و پتانسیل خوردگی در محلول ۳/۵ % NaCl برای نمونه‌های با زاویه تماس متفاوت [۹].

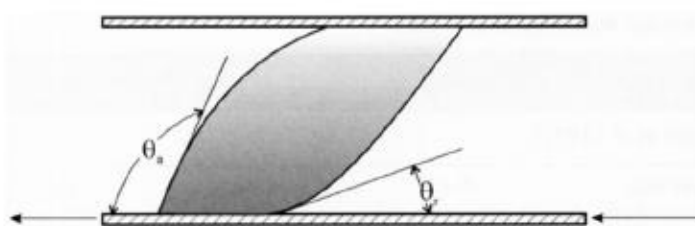
Sample (°)	E_{corr} (V/SCE)	I_{corr} (A/cm ²) * 10 ⁻³
۳۵	۱/۴۸	۱/۶۶
۸۵	۱/۴۶	۰/۸۶۹
۱۲۶	۱/۴۵	۰/۵۴۸
۱۵۴	۱/۴۲	۰/۴۹۹

جدول ۲: پارامترهای بدست آمده از منحنی‌های پلاریزاسیون تافل [۷، ۸].

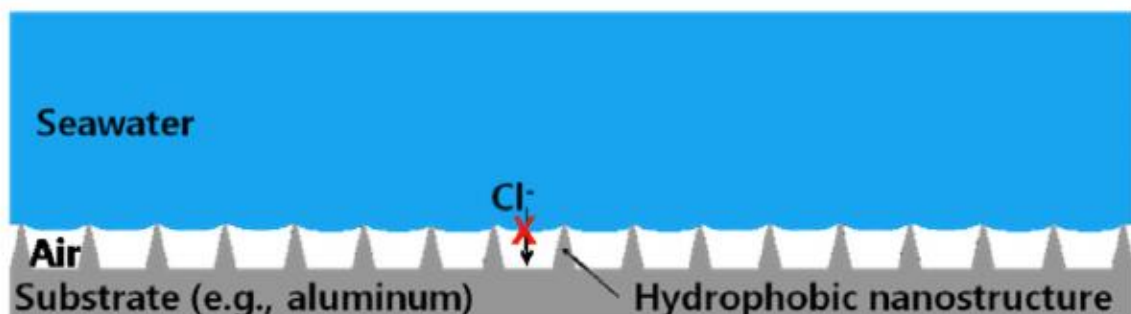
E_{corr} (mV vs. Ag/AgCl)	i_{corr} (μ A/cm ²)	i_{pass} (μ A/cm ²)	نحوه
۱۸۰	۸		زیرلايه مسي
۲۳۰	۰/۵		يكل ميكرو نانو ساختار اوليه
۱۴۰		۰/۰۶	پوشش ابرآبگربر نكل
۳۶۰	۸		پوشش ابرآبگربر نكل كالت
۱۴۲	۰/۰۸		پوشش ابرآبگربر نكل كالت

شکل ۱: (a) اگر زاویه تماس $> 90^\circ$ باشد سطح ذاتی آب دوست، و (b) اگر زاویه تماس $< 90^\circ$ باشد سطح ذاتی آبگربر است [۲].

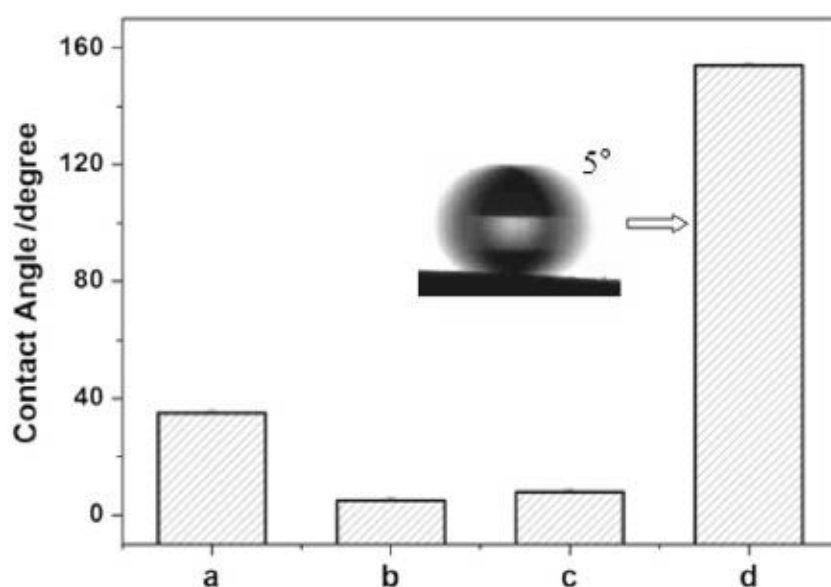
سطوح ابرآبگریز و تاثیر آن‌ها ...



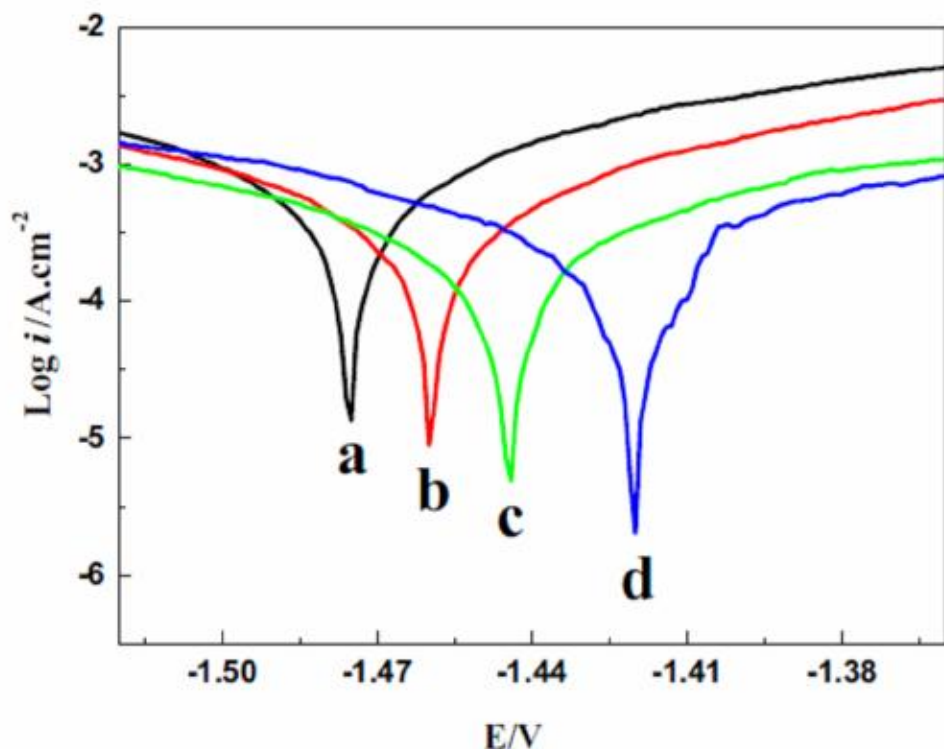
شکل ۲: θ_s زاویه تماس پیش رو و θ_r زاویه تماس پس روی یک قطره مایع بین یک صفحه بالایی ثابت و صفحه پایینی متحرک، است [۳].



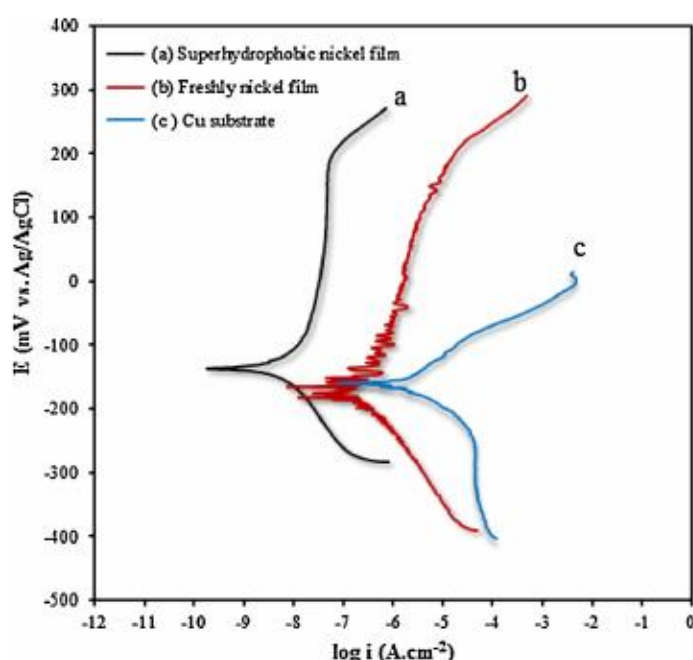
شکل ۳: شماتیک چگونگی ممانعت خوردگی سطوح ابرآبگریز. سطح میکرو/نانوساختار سطوح ابرآبگریز یک فصل مشترک کامپوزیت با آب تشكیل می‌دهد که می‌تواند هوا را در خود حس کند [۴].



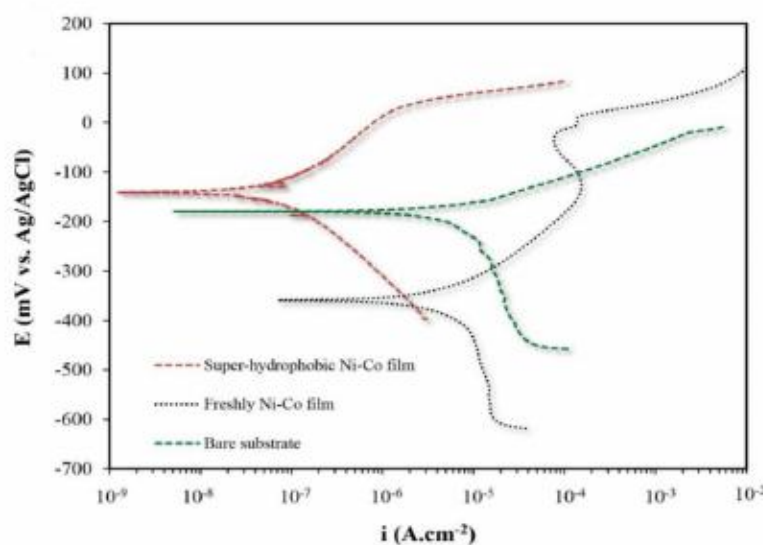
شکل ۴: زاویه تماس آلیاز AZ91 پس از مراحل مختلف (a) پولیش و پاکسازی (b) انجام با اسید (c) DM و treat (d) AgNO_3



شکل ۵: نمودارهای تافل AZ91 با زوایه‌های تماس متفاوت (a) ۱۵۴° (b) ۱۲۶° (c) ۸۵° (d) ۳۵° [۵]

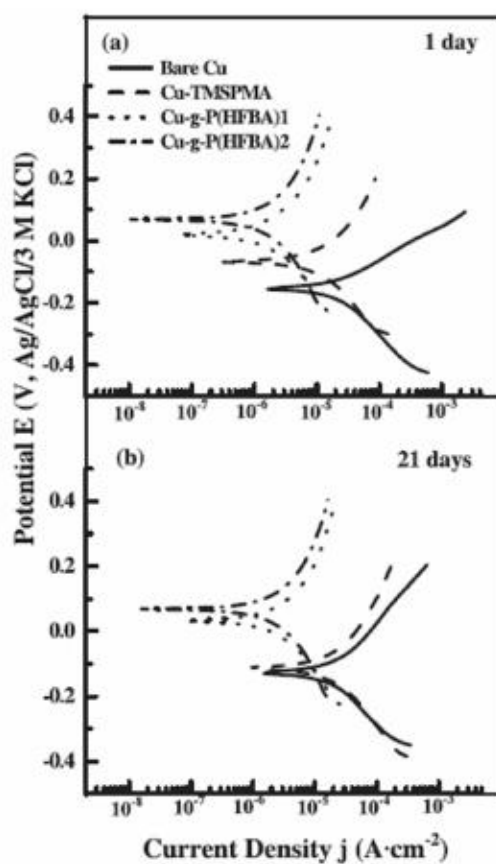


شکل ۶: منحنی پلاریزاسیون تافل مربوط به نمونه‌های مختلف فیلم نیکل و زیرلایه مس بدون پوشش در محلول [γ] NaCl ۳/۵٪



شکل ۷: منحنی پلاریزاسیون تافلی مربوط به نمونه‌های مختلف فیلم نیکل-کبالت و زیرلایه مس بدون پوشش در محلول

$[{\text{NaCl}}] / \text{٪} ۳/۵$



شکل ۸: نمودار پلاریزاسیون تافل برای مس بدون پوشش، Cu-TMSPMA، Cu-g-P(HFBA)1، Cu-g-P(HFBA)2 پس از قرار گرفتن در معرض محلول $[{\text{NaCl}}] / \text{٪} ۳/۵$ به مدت (a) ۱ روز و (b) ۲۱ روز [۶]